

## ТЕОРИЯ ПЬЕЗОСОПРОТИВЛЕНИЯ В ФЕРРОМАГНИТНЫХ ПОЛУПРОВОДНИКАХ $HgCr_2Se_4$ и $CdCr_2Se_4$ *p*-типа

Ауслендер М. И., Бебенин Н. Г.

Рассматривается пьезосопротивление в ферромагнитной области температур, когда валентная зона  $\Gamma_8$  расщеплена *p*—*d*-обменным взаимодействием на 4 невырожденные подзоны. Считается, что изменение энергии электрона при деформации меньше величины обменного расщепления. Рассмотрена зависимость пьезосопротивления от направления магнитного поля. Оценка констант деформационного потенциала показала, что их величины близки к значениям, характерным для германия, кремния и соединений АШВ.

Изучение влияния давления на кинетические эффекты в полупроводниках является эффективным средством исследования зонной структуры. В недавно появившихся работах [1, 2] приведены результаты измерений пьезосопротивления *n*- и *p*- $HgCr_2Se_4$  в пара- и ферромагнитных фазах. Анализируя их, авторы указанных работ пришли к заключению, что в  $HgCr_2Se_4$  электроны движутся в сферически симметричной зоне *s*-типа, а валентная зона является вырожденной в точке  $\Gamma$  (при температурах, превышающих температуру Кюри  $T_c$ ). Эти выводы полностью согласуются с моделью зонных структур  $HgCr_2Se_4$  и  $CdCr_2Sn_4$ , предложенной в [3–5] на основе анализа результатов зонных расчетов и данных по оптическому поглощению. Эта модель была применена для объяснения анизотропии магнитосопротивления указанных полупроводников [3, 5], а также магнитопоглощения света в  $HgCr_2Se_4$  [6]. В настоящей работе она используется для построения теории пьезосопротивления при  $T < T_c$ .

### 1. Пьезосопротивление при $H \parallel [001]$

Потолку валентной зоны принадлежат, по-видимому, состояния, преобразующиеся по представлению  $\Gamma_{15}$ . Спин-орбитальное взаимодействие приводит к расщеплению  $\Gamma_{15} \rightarrow \Gamma_8 + \Gamma_{6e}$ ; из-за большой величины расщепления состояния  $\Gamma_8$ , можно не учитывать. При  $T < T_c$  обменное *p*—*d*-взаимодействие приводит к дальнейшему расщеплению зоны  $\Gamma_8$  на 4 невырожденные подзоны, отделенные друг от друга (при волновом векторе  $k=0$ ) энергетическим зазором  $\Delta_{ex} = |A_e \langle S \rangle| / 3$ , где  $A_e$  — *p*—*d*-обменный интеграл,  $\langle S \rangle$  — средняя величина локализованного спина. Наивысшее по энергии электронное состояние соответствует проекции момента  $m=+3/2$  (ось квантования направлена вдоль намагниченности  $M$ ). Спектр дырок в таких подзонах является анизотропным и зависит от направления  $M$ , а эффективные массы «тяжелых» ( $m=\pm 3/2$ ) и «легких» ( $m=\pm 1/2$ ) дырок даются выражением [3–5]

$$\frac{\hbar^2}{2} (M_{\vec{k},l}^{-1})_{ij} = \delta_{ij} (\gamma_1 \pm \gamma_2 \mp 3\gamma_2 n_i^2) \pm 3(1 - \delta_{ij}) \gamma_3 n_i n_j, \quad (1)$$

где  $i, j = x, y, z$ , оси координат направлены вдоль осей 4-го порядка,  $\gamma_a$  — параметры Латтингджа, определенные согласно [7],  $n = M/M$ . Изменение эффективных масс при изменении направления намагниченности  $M$  обусловливает большую анизотропию магнитосопротивления.

В ферромагнитной области при магнитном поле  $H=0$  образец разбит на домены, каждый из которых характеризуется своим направлением намагниченности и, следовательно, своими кинетическими характеристиками. На опыте обычно измеряются величины, относящиеся ко всему образцу, так что при  $H=0$  результаты измерений зависят от особенностей доменной структуры, учесть которые затруднительно. По этой причине измерения проводят в достаточно сильном магнитном поле, когда  $M \parallel H$  и образец находится в однодоменном состоянии. Далее это условие считается выполненным.

В деформированном кристалле как положение экстремумов подзон, так и законы дисперсии электронов изменяются, причем эти изменения различны для разных направлений намагниченности. Для их нахождения необходимо решить дисперсионное уравнение  $|\tilde{\mathcal{K}}(\Delta_{ex}) + \tilde{\mathcal{K}}(\varepsilon) + \tilde{\mathcal{K}}(k) - \tilde{I}E| = 0$ ; входящие в нем матрицы  $\tilde{\mathcal{K}}(\Delta_{ex})$ ,  $\tilde{\mathcal{K}}(\varepsilon)$  и  $\tilde{\mathcal{K}}(k)$  в базисе Конн—Латтингхера приведены в [7] ( $\Delta_{ex} = \Delta_{ex}$ ,  $n$  — обменное поле,  $\varepsilon$  — тензор деформации).

Наиболее простым является случай  $n = (0, 0, 1)$ , когда матрица  $\tilde{\mathcal{K}}(\Delta_{ex})$  является диагональной, так что гамильтониан имеет вид

$$\tilde{\mathcal{K}} = \begin{pmatrix} \tilde{F} + 3\Delta_{ex}/2 & \tilde{I} & \tilde{I} & 0 \\ \tilde{H}^* & \tilde{G} + \Delta_{ex}/2 & 0 & \tilde{I} \\ I^* & 0 & \tilde{G} - \Delta_{ex}/2 & -\tilde{H} \\ 0 & I^* & -\tilde{H}^* & \tilde{F} - 3\Delta_{ex}/2 \end{pmatrix}, \quad (2)$$

где, согласно [7],

$$\begin{aligned} \tilde{F} &= -(\gamma_1 + \gamma_2)(k_x^2 + k_y^2) - (\gamma_1 - 2\gamma_2)k_z^2 + a\varepsilon + (b/2)(\varepsilon_{xx} + \varepsilon_{yy} - 2\varepsilon_{zz}), \\ \tilde{G} &= -(\gamma_1 - \gamma_2)(k_x^2 + k_y^2) - (\gamma_1 + 2\gamma_2)k_z^2 + a\varepsilon - (b/2)(\varepsilon_{xx} + \varepsilon_{yy} - 2\varepsilon_{zz}), \\ \tilde{I} &= -\sqrt{3}\gamma_2(k_x^2 - k_y^2) + 2\sqrt{3}i\gamma_3k_xk_y + (\sqrt{3}b/2)(\varepsilon_{xx} - \varepsilon_{yy}) - id\varepsilon_{xy}, \\ \tilde{H} &= 2\sqrt{3}\gamma_3k_z(k_y + ik_x) - id(\varepsilon_{xz} - \varepsilon_{yz}), \end{aligned} \quad (3)$$

$\varepsilon = \varepsilon_{xx} + \varepsilon_{yy} + \varepsilon_{zz}$ ,  $a$ ,  $b$  и  $d$  — константы деформационного потенциала.

Считая, что изменение энергии электрона при деформации много меньше обменного расщепления (это соответствует условиям эксперимента), легко написать приближенное решение дисперсионного уравнения

$$E_{\pm\gamma_1} = \pm \frac{3}{2}\Delta_{ex} + \tilde{F} \pm \frac{1}{2\Delta_{ex}}(|\tilde{I}|^2 + 2|\tilde{H}|^2), \quad E_{\pm\gamma_2} = \pm \frac{1}{2}\Delta_{ex} + \tilde{G} \pm \frac{1}{2\Delta_{ex}}(|\tilde{I}|^2 - 2|\tilde{H}|^2). \quad (4)$$

Как видно из (3) и (4), энергетический зазор между подзонами с  $m=3/2$  и  $m=-1/2$  (другие нам не понадобятся) имеет вид

$$\delta E = \Delta_{ex} + b(\varepsilon_{xx} + \varepsilon_{yy} - 2\varepsilon_{zz}), \quad (5)$$

а поправка к эффективным массам дается теми слагаемыми в правой части формул (4), которые линейны по  $\varepsilon_{ij}$  и квадратичны по волновому вектору. Соответствующие выражения оказываются довольно громоздкими, поэтому мы ограничимся случаями, изученными в эксперименте [1, 2]. В этих работах измерялось сопротивление образца при одноосной деформации вдоль направления  $I$ , причем ток  $j$  был направлен либо параллельно  $I$ , либо  $j \parallel t$ , где  $t \perp I$ . Были изучены два случая: 1)  $I \parallel [100]$ ,  $t \parallel [010]$ ; 2)  $I \parallel [1\bar{1}0]$ ,  $t \parallel [110]$ . При этом  $\varepsilon_{xz} = \varepsilon_{yz} = 0$ , поэтому слагаемое  $\pm |\tilde{H}|^2/\Delta_{ex}$  в (4) учитывать не нужно. Эффективные массы дырок даются выражениями

$$\begin{aligned} \left(\frac{\hbar^2}{2M}\right)_{xx} &= \gamma_1 \pm \gamma_2 + \frac{3b}{2\Delta_{ex}}\gamma_2(\varepsilon_{xx} - \varepsilon_{yy}), \\ \left(\frac{\hbar^2}{2M}\right)_{yy} &= \gamma_1 \pm \gamma_2 - \frac{3b}{2\Delta_{ex}}\gamma_2(\varepsilon_{xx} - \varepsilon_{yy}), \\ \left(\frac{\hbar^2}{2M}\right)_{xy} &= \frac{\sqrt{3}d}{2\Delta_{ex}}\gamma_3\varepsilon_{xy}, \quad \left(\frac{\hbar^2}{2M}\right)_{zz} = \gamma_1 \mp 2\gamma_2, \end{aligned} \quad (6)$$

где верхний знак относится к тяжелым, а нижний — к легким дыркам.

Измерения проводились при  $T=78$  К, когда  $\Delta_{\text{ex}} > T$ , поэтому достаточно учесть дырки в зонах с  $m=3/2$  и  $m=1/2$ . Обозначая концентрацию дырок в этих зонах как  $n_h$  и  $n_l$  и учитывая, что  $n_l/n_h \sim \exp(-\delta E/T) \ll 1$ , для логарифмической производной удельного сопротивления  $\rho_t$  по давлению  $P$  ( $P > 0$  для растягивающих напряжений) при  $j \parallel l$  в случае (1) имеем

$$\pi^{(1)} = \frac{\partial \ln \rho_t^{(1)}}{\partial P} \approx \frac{\partial}{\partial P} \ln \frac{M_{xx}^h}{\tau_{xx}^h} - \frac{\partial}{\partial P} \ln n_h + \frac{M_{xx}^h \tau_{xx}^l (m_d^h)^{3/2}}{M_{yy}^l \tau_{yy}^l (m_d^h)^{3/2}} \frac{e^{-\Delta_{\text{ex}}/T}}{T} \frac{\partial}{\partial P} \delta E, \quad (7)$$

где  $\tau_{ij}^h, l$  — компоненты тензора времен релаксации,  $m_d^h, l$  — эффективная масса плотности состояний; все величины в правой части (7) взяты (после вычисления производных) при  $P=0$ . Выражение для  $\partial \ln \rho_t^{(1)} / \partial P$  (т. е. при  $j \parallel t$ ) отличается от (7) заменой  $x \rightarrow y$ .

Изменение сопротивления при деформации происходит, во-первых, благодаря изменению эффективных масс и времен релаксации дырок [первое слагаемое в (7)] и, во-вторых, из-за изменения концентрации носителей и их перераспределения между подзонами (второе и третье слагаемые). Для разности  $\pi=\pi_l-\pi_t$  в рассматриваемом случае (1) имеем

$$\pi^{(1)} = \frac{\partial}{\partial P} \ln \left( \frac{M_{xx}^h \tau_{yy}^h}{M_{yy}^l \tau_{xx}^h} \right) + \left( \frac{M_{xx}^h \tau_{xx}^l}{M_{yy}^l \tau_{yy}^h} - \frac{M_{yy}^l \tau_{yy}^l}{M_{yy}^l \tau_{yy}^h} \right) \left( \frac{m_d^l}{m_d^h} \right)^{3/2} \frac{e^{-\Delta_{\text{ex}}/T}}{T} \frac{\partial}{\partial P} \delta E. \quad (8)$$

При  $P=0$  ось Oz является осью 4-го порядка, поэтому  $M_{xx}^h = M_{yy}^h, \tau_{xx}^h = \tau_{yy}^h$ , так что второе слагаемое в (8) обращается в нуль, и  $\pi^{(1)}$  определяется только зависимостью  $M_{ij}^h$  и  $\tau_{ij}^h$  от давления [в рассматриваемом линейном по  $\exp(-\delta E/T)$  приближении]. Вид зависимости  $\hat{\tau}(P)$  определяется механизмами рассеяния дырок. Принимая во внимание высокую дефектность и большую степень компенсации рассматриваемых материалов, будем предполагать, что наиболее существенным является рассеяние дырок на дефектах с сильно локализованным потенциалом. В этом случае как для легких, так и для тяжелых дырок тензор  $\hat{\tau}$  кратен единичному, причем  $\hat{\tau}^{h,l} = \tau_0 (m_d^{h,l})^{-3/2} \hat{l}$ . Формула для  $\pi^{(1)}$  тогда еще более упрощается и с учетом (6) принимает вид

$$\pi^{(1)} = \frac{\partial}{\partial P} \ln \frac{M_{xx}^h}{M_{yy}^h} \approx - \frac{3b\gamma_2^*}{\Delta_{\text{ex}}} \frac{\partial}{\partial P} (\varepsilon_{xx} - \varepsilon_{yy}) = - \frac{3b\gamma_2^*}{\Delta_{\text{ex}} C'}, \quad (9)$$

где  $C' = C_{11} - C_{12}$ ,  $C_{ij}$  — упругие модули,  $\gamma_2^* = \gamma_2/\gamma_1$ ; как показано в [3],  $\gamma_2^*$  (а также  $\gamma_3^* = \gamma_3/\gamma_1$ ) много меньше единицы.

Совершенно аналогично рассматривается случай (2), когда  $l \parallel [1\bar{1}0]$ ,  $t \parallel [110]$ . Результат получается следующий:

$$\pi^{(2)} = -\sqrt{3} d\gamma_3^*/2\Delta_{\text{ex}} C_{44}. \quad (10)$$

## 2. Осцилляции пьезосопротивления

Изменение эффективных масс дырок при изменении ориентации намагниченности относительно кристаллографических осей приводит к тому, что при вращении магнитного поля вокруг какой-либо оси сопротивление образца меняется периодически (аналогичный эффект наблюдался и в магнитопоглощении). При этом, если ток течет вдоль оси 3-го или 4-го порядка, а магнитное поле вращается перпендикулярно току, осцилляции либо не наблюдаются, либо очень малы; если же ток направлен вдоль оси симметрии 2-го порядка (и по-прежнему  $H \perp j$ ), то как в  $p\text{-HgCr}_2\text{Se}_4$ , так и в  $p\text{-CdCr}_2\text{Se}_4$  наблюдаются ясно выраженные  $180^\circ$  осцилляции магнитосопротивления (см. [3, 5] и цитированную там литературу). Аналогичные эффекты должны наблюдаться и в пьезосопротивлении.

Основная трудность при нахождении спектра электронов состоит в том, что матрица  $\mathcal{K}(\Delta_{\text{ex}})$  уже не является диагональной, так что прежде всего следовало бы найти унитарную матрицу, диагонализирующую  $\mathcal{K}(\Delta_{\text{ex}})$ , после чего

можно было бы использовать теорию возмущений. Мы, однако, применим несколько другой способ, приводящий к тому же результату, но физически более прозрачный.

Запишем матрицы  $\hat{\mathcal{K}}(\Delta_{ex})$ ,  $\hat{\mathcal{K}}(k)$  и  $\hat{\mathcal{K}}(\epsilon)$  в следующем виде [7]:

$$\begin{aligned}\hat{\mathcal{K}}(\Delta_{ex}) &= \Delta_{ex} \cdot \hat{J}, \\ \hat{\mathcal{K}}(k) &= -\left(\gamma_1 + \frac{5}{2}\gamma_2\right) k^2 I + 2\gamma_2 \sum_i \hat{J}_i^2 k_i^2 + 2\gamma_3 \sum_{i \neq j} [\hat{J}_i, \hat{J}_j] k_i k_j, \\ \hat{\mathcal{K}}(\epsilon) &= \left(a + \frac{5}{4}b\right) \epsilon I - b \sum_i \hat{J}_i^2 \epsilon_{ii} - \frac{d}{\sqrt{3}} \sum_{i \neq j} [\hat{J}_i, \hat{J}_j] \epsilon_{ij}, \quad i, j = x, y, z,\end{aligned}\quad (11)$$

где  $\hat{J} = (\hat{J}_x, \hat{J}_y, \hat{J}_z)$  — матрицы момента  $3/2$ ,  $[\hat{J}_i, \hat{J}_j]$  — их симметризованные произведения; явный вид этих матриц можно найти в [7]. Осью квантования в формулах (11) является ось  $Oz$ . Зададим новую ось квантования, направив ее вдоль намагниченности, для чего перейдем в систему координат, задаваемую ортами  $e_3 = n$ ,  $e_2 = [e_x \times e_3]/|[e_x \times e_3]|$ ,  $e_1 = [e_2 \times e_3]$ .

Преобразованные матрицы имеют вид ( $n_\perp^2 = n_x^2 + n_y^2$ )

$$\begin{aligned}\hat{\mathcal{K}}'(\Delta_{ex}) &= \Delta_{ex} \hat{J}_3, \\ \hat{\mathcal{K}}'(k) &= -\left(\gamma_1 + \frac{5}{2}\gamma_2\right) k^2 I + 2\gamma_2 \left\{ \hat{J}_1^2 \frac{n_z^2}{n_\perp^2} (n_x^2 k_x^2 + n_y^2 k_y^2 + n_\perp^2 k_z^2) + \hat{J}_2^2 \frac{n_y^2 k_x^2 + n_x^2 k_y^2}{n_\perp^2} + \right. \\ &+ \hat{J}_3^2 (n_x^2 k_z^2 + n_y^2 k_y^2 + n_\perp^2 k_z^2) + 2 [\hat{J}_1, \hat{J}_2] \frac{n_x n_y n_z}{n_\perp^2} (k_y^2 - k_x^2) + 2 [\hat{J}_1, \hat{J}_3] \frac{n_z}{n_\perp} (n_x^2 k_x^2 + n_y^2 k_y^2 - n_\perp^2 k_z^2) + \\ &+ 2 [\hat{J}_2, \hat{J}_3] \frac{n_x n_y}{n_\perp} (k_y^2 - k_x^2) \Big\} + 4\gamma_3 \left\{ \hat{J}_1^2 \left( \frac{n_x n_y n_z^2}{n_\perp^2} k_x k_y - n_x n_z k_x k_z - n_y n_z k_y k_z \right) - \hat{J}_2^2 \frac{n_x n_y}{n_\perp^2} k_x k_y + \right. \\ &+ \hat{J}_3^2 (n_x n_y k_x k_y + n_x n_z k_x k_z + n_y n_z k_y k_z) + [\hat{J}_1, \hat{J}_2] \left[ \frac{(n_x^2 - n_y^2) n_z}{n_\perp^2} k_x k_y + n_y k_x k_z - n_x k_y k_z \right] + \\ &+ [\hat{J}_1, \hat{J}_3] \left[ \frac{2n_x n_y n_z}{n_\perp} k_x k_y + \frac{(n_x^2 - n_\perp^2)}{n_\perp} (n_x k_x k_z + n_y k_y k_z) \right] + [\hat{J}_2, \hat{J}_3] \times \\ &\times \left. \left[ \frac{(n_x^2 - n_y^2)}{n_\perp} k_x k_y - \frac{n_x}{n_\perp} (n_y k_x k_z - n_x k_y k_z) \right] \right\}.\end{aligned}\quad (12)$$

Матрица  $\hat{\mathcal{K}}'(\epsilon)$  получается из (12) заменой  $\gamma_1 \rightarrow -a$ ,  $\gamma_2 \rightarrow -5b/4$ ,  $\gamma_3 \rightarrow -d/2\sqrt{3}$ ,  $k_i k_j \rightarrow \epsilon_{ij}$ , матрицы  $\hat{J}_{1,2,3}$  совпадают с  $\hat{J}_{x,y,z}$ .

Дальнейшие выкладки вполне аналогичны тем, что привели нас к формулам (5) и (6). Энергетический зазор между подзонами дается выражением

$$\delta E = \Delta_{ex} + b\epsilon - 3b(n_x^2 \epsilon_{xx} + n_y^2 \epsilon_{yy} + n_\perp^2 \epsilon_{zz}) - 2\sqrt{3}d(n_x n_y \epsilon_{xy} + n_x n_z \epsilon_{xz} + n_y n_z \epsilon_{yz}), \quad (14)$$

из которого следует, что  $\delta E$  весьма существенно зависит не только от тензора деформации, но и от ориентации намагниченности. Сказанное в полной мере относится и к тензору эффективных масс, но для него получаются столь громоздкие выражения, что выписать их нет никакой возможности. Мы ограничимся приведением выражения для  $\pi = \pi_t - \pi_i$  в случае (3), когда  $I \parallel [1\bar{1}0]$ ,  $t \parallel [110]$ , а магнитное поле вращается в плоскости (110). Формула имеет следующий вид:

$$\pi^{(3)} = \gamma_3^* f(\theta) + 6\gamma_3^* \sin^2 \theta \left[ -\frac{b}{C'} + \frac{3}{2} \sin^2 \theta \left( \frac{b}{C'} - \frac{d}{2\sqrt{3} C_{44}} \right) \right] \frac{e^{-\Delta_{ex}/T}}{T}, \quad (15)$$

где  $\theta$  — угол между намагниченностью и осью  $Oz$ ,

$$\begin{aligned}f(\theta) &= -\frac{3}{4\Delta_{ex}} \left[ \frac{1}{8} \left( \frac{b}{C'} + \frac{21d}{2\sqrt{3} C_{44}} \right) - \frac{1}{2} \cos 2\theta \left( \frac{b}{C'} - \frac{3d}{2\sqrt{3} C_{44}} \right) + \right. \\ &\quad \left. + \frac{1}{8} \cos 4\theta \left( \frac{3b}{C'} - \frac{d}{2\sqrt{3} C_{44}} \right) \right].\end{aligned}\quad (16)$$

Первое слагаемое в (15) определяется изменением эффективной массы дырок в подзоне с  $m=3/2$ , а второе — перераспределением носителей между подзо-

нами с  $m=3/2$  и  $m=1/2$ . При выводе (15), как и ранее, предполагалось, что  $\gamma_2^*, \gamma_3^* \ll 1$ ,  $\exp(-\delta E/T) \ll 1$ .

Входящие в (15) и (16) константы деформационного потенциала можно с помощью (9) и (10) выразить через  $\pi^{(1)}$  и  $\pi^{(2)}$ , что дает

$$\pi^{(3)}(\theta) = \varphi_1(\theta) + \varphi_2(\theta) xe^{-x}, \quad (17)$$

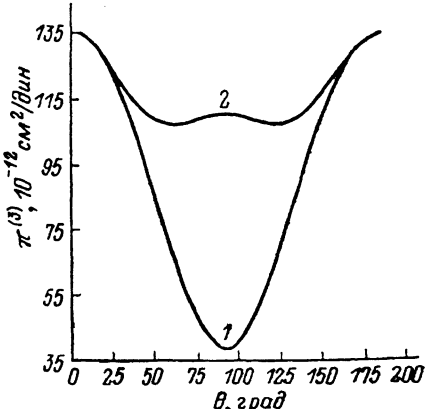
где

$$\varphi_1(\theta) = \frac{\alpha\pi^{(1)} + 21\pi^{(2)}}{32} + \frac{1}{8} [-\alpha\pi^{(1)} + 3\pi^{(2)}] \cos 2\theta - \frac{1}{32} [-3\alpha\pi^{(1)} + \pi^{(2)}] \cos 4\theta,$$

$$\varphi_2(\theta) = 3 \sin^2 \theta \left[ \frac{2}{3} \alpha\pi^{(1)} + (-\alpha\pi^{(1)} + \pi^{(2)}) \sin^2 \theta \right], \quad (18)$$

$$a = \gamma_3/\gamma_2, \quad x = \Delta_{ex}/T.$$

При низких температурах, т. е. при  $x \gg 1$ , угловая зависимость целиком определяется угловой зависимостью эффективной массы дырок с  $m=3/2$  (если, конечно, доминирующим остается зонный тип проводимости). При повышении температуры весьма существенным может оказаться второе слагаемое в (17), что приводит к сильному изменению угловой зависимости (см. рисунок, где  $\pi^{(1)} = 29 \cdot 10^{-12}$ ,  $\pi^{(2)} = 136 \cdot 10^{-12}$  см<sup>2</sup>/дин [1, 2],  $\alpha \approx 0.63$  в согласии с данными ра-



Зависимость  $\pi^{(3)} = \pi_i - \pi_f$  от угла  $\theta$  между намагниченностью и осью  $Oz$ .

$T, K$ : 1 — 0 (все носители в подзоне  $m=3/2$ ), 2 — 78 ( $\Delta_{ex}=0.017$  эВ, часть носителей активирована в подзону  $m=1/2$ ).

боты [3], а величина  $x=2.5$ ). При низких температурах угловая зависимость  $\pi^{(3)}(\theta)$  является почти косинусоидальной, а при возрастании  $T$  на  $180^\circ$  колебания накладываются  $90^\circ$  заметной амплитуды.

### 3. Оценка констант деформационного потенциала в $HgCr_2Se_4$

Как ясно из изложенного, наиболее простые с теоретической точки зрения случаи (1) и (2) являются и наиболее важными, так как по результатам измерений  $\pi^{(1)}$  и  $\pi^{(2)}$  можно определить константы деформационного потенциала  $b$  и  $d$ , если известны  $\gamma_2^*$ ,  $\gamma_3^*$ ,  $\Delta_{ex}$  и упругие модули. Значения  $\pi^{(1)}$  и  $\pi^{(2)}$  приведены выше. Оценка  $\gamma_2^*$  и  $\gamma_3^*$  для  $HgCr_2Se_4$  сделана в [3] на основе анализа результатов измерения магнитоопротивления:  $\gamma_2^* \approx 0.11$ ,  $\gamma_3^* \approx 0.07$ . Величина  $\Delta_{ex}$  известна только для  $CdCr_2Se_4$ , где  $\Delta_{ex} \approx 0.025$  эВ при  $T=16$  К [4, 5]. Для  $HgCr_2Se_4$  данных нет, но, поскольку в обоих шпинелях потолку валентной зоны в точке Г соответствуют состояния, образованные 4p-состояниями селена, значения  $p-d$ -обменного интеграла в этих соединениях не должны сильно различаться; в наших оценках мы будем считать их равными. Поскольку при  $T=78$  К относительная намагниченность  $HgCr_2Se_4$  примерно равна 0.7, для  $\Delta_{ex}$  получаем  $\approx 0.017$  эВ. Упругие модули в настоящее время не известны как для  $HgCr_2Se_4$ , так и для  $CdCr_2Se_4$ , поэтому мы, следуя [1, 2], будем пользоваться данными для  $CdIn_2S_4$ , принимая для  $C'$  и  $C_{44}$  следующие значения:  $C' \approx 10^{12}$ ,  $C_{44} \approx 3 \times 10^{11}$  дин/см<sup>2</sup>.

Подставляя указанные значения параметров в формулы (9) и (10), находим, что в  $HgCr_2Se_4$   $b \approx -1.5$  эВ,  $d \approx -11$  эВ.

Как известно [8], в германии, кремнии и соединениях  $AlIVB^V$   $b$  и  $d$  отрицательны, причем  $|b|$  заметно меньше  $|d|$ :  $|b| \sim 1.5 \div 2.0$  эВ,  $|d| \sim 3.5 \div 5.5$  эВ. Наши значения констант деформационного потенциала для  $HgCr_2Se_4$

имеют те же знак и порядок величины. Правда, для  $|d|$  получилось значение, приблизительно в 2 раза превосходящее максимальное из приведенных в [8], но так ли это в действительности или такое различие появилось из-за грубости оценок, в настоящее время сказать трудно. Этот вопрос нуждается в дальнейшем исследовании.

#### Список литературы

- [1] Галдикас А., Гребинский С., Мицкевичус С. // Деп. ВИНИТИ АН СССР. М., 1987. № 4374-В87.
- [2] Galdikas A., Grebinskii S., Mickevičius // Phys. St. Sol. (a). 1988. V. 107. N 1. P. K53-K55.
- [3] Ауслендер М. И., Бебенин Н. Г., Гижевский Б. А. и др. // Препринт ИФМ УрО АН СССР. Свердловск, 1987. № 87/2.
- [4] Ауслендер М. И. Бебенин Н. Г. // ФТТ. 1988. Т. 30. В.4. С. 945—951.
- [5] Auslender M. I., Bebenin N. G. // Sol. St. Comm. 1989. V. 69. N 7. P. 761—764
- [6] Ауслендер М. И., Барсукова Е. В., Бебенин Н. Г., Гижевский Б. А. и др. // ЖЭТФ. 1989. Т. 95. В. 1. С. 247—252.
- [7] Бир Г. Л., Пикус Г. Е. Симметрия и деформационные эффекты в полупроводниках. М., 1972. 504 с.
- [8] Wiley J. D. // Semiconductors a. Semimetals. N. Y., 1975. V. 10. P. 91—174.

Институт физики металлов  
УрО АН СССР  
Свердловск

Получена 13.10.1989  
Принята к печати 21.02.1990